

# 電算機による地盤改良の自動設計

清水建設 宮崎徳次郎  
尾上篤生  
○草刈太一

## 1) はじめに

埋立地や内陸に於ける海成あるいは河成の沖積粘土地盤上<sup>4)</sup>に土構造物や建物を建設する際に、その重要度と地盤の強度及び沈下との相対関係から、使用に耐える程度の地盤改良が行なわれることが通例である。その工法としては、効果と経済性を考慮してドレーンによる圧密促進の方法が特に顕著であるが、サンドドレーンの効果に関する議論<sup>1)</sup>が示唆する如く、工事の成否に及ぼす因子は、理論の再検討を除けば次の3点であろう。すなわち、

1. ドレーン自体が排水路として、十分な連続性<sup>5)</sup>と透水性<sup>6)7)</sup>を持つこと。
2. 地盤の不均一性に留意して詳細な設計を行うこと。
3. 土質試験結果の解釈にあたり、土の種類や過圧密比などの土の状態などから適用限界を考慮することである。第一の点は、すでに網袋詰めのドレーンを改良深度に応じた径を選択して施工するようになって来たことで解決されつつあり、第三の点では幾人かの研究者による指摘<sup>1)2)3)</sup>があるが、多分に個人差に負うところが大きい。第二の点に関しては、電算機の活用によって従来に比べ飛躍的に速くなり、かつ膨大な演算を処理するとともに設計計算書としての体裁を備えた出力を得ることが可能となった今日では、殆んど技術者の手を煩わすものではない。

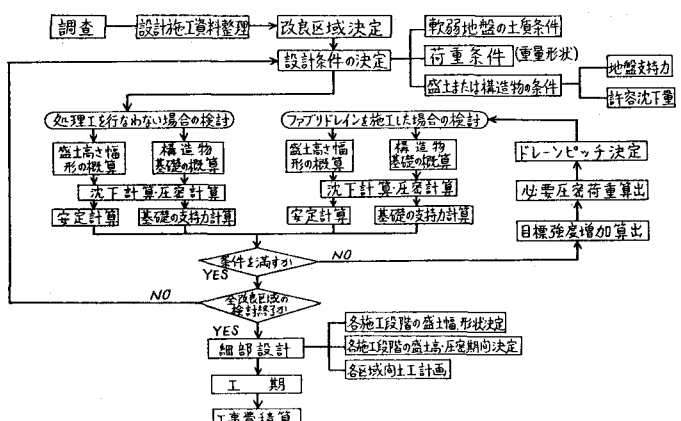
ここでは、電算機利用の一例として、土質調査結果の整理から最適設計、積算、作図、施工管理まで自動化した地盤改良自動設計システムを説明し、今後の設計、管理、動態観測データの蓄積などに電算機の高度利用が一層進歩することを期待するものである。

## 2) システムの概要

筆者らの地盤改良自動設計システムは、現在研究の過渡にある三次元圧密、レオロジー、ドレーンの脱水抵抗、あるいは砂抗の剛性の影響などのシステムへの導入は尙早であるとして、看過せざるを得なかったが通常の設計法ではみられない二三の新しい試みが取り入れられた。

また、設計条件を満足する多数のサーチャージとドレーン打設深度、ピッチの組合せの全事象に対する経済比較をおこなって、ドレーンを必要としない場合も含めて最も経済的な設計、謂ゆる最適設計をしたことは電算機の機能を効果的に活かした例と思われる。システムはa)設計b)積算c)計測管理の各プログラムからなり、各々オフラインで結ばれている。ここでは、当システムの持つ機能のうち最適設計機能を中心として説明する。これに関するフローチャートを図-1に示す。

図-1 ファブリパックドレーンの設計手順



## 3) 設計プログラムの構成

設計プログラムへの入力項目 (図-2)

)は、群に分けると、

1. 土質試験結果のうちボーリング検層、サウンディング検層(検層結果の土質記号<sup>3)</sup>図-3), N値、土質試験結果一覧表、圧密試験の各荷重段階の諸数値、サンプリングの平面位置及び深度。

2. 設計地盤高、圧密期間、設計荷重、許容残留沈下量、さらに施工前より対象地盤が圧密進行中であるか否かを表わす埋土厚さと埋立後経過年数を一組とする全ての設計条件との組と、それら各組の支配する平面領域を示す多角形節点とその座標。

3. 計算方針データとして、当プログラムの多重機能の中からどの様な方針でシステムを使用するかを表わす記号(図-5)

その他、改良対象敷地の周囲を示す敷地周囲節点と座標、並びにドレン配置の型式とに分けられる。

プログラムはフローチャート(図-2)に示す構成を持ち、それぞれの処置に対応する出力項目を持つが、以下に電算機を使用したことによる特色ある箇所を紹介する。

#### a. 土質試験結果の自動的整理(図-6)

圧密計算に必要な土質データは成層地盤の各層ごとの( $C_v$ ,  $m_v$ ,  $e$ )~圧密荷重Pの関係である<sup>6)</sup>から荷重段階ごとの圧密データと、土質試験結果一覧表の諸数値とを試料の採取深度とボーリング及びサウンディングから判断した地盤の成層認識とから自動的に土層ごとに平均、又は深度を変数とする最小二乗法で整理する。従ってボーリング位置ごとに試験され入力されたデータが、自動的に当該敷地内の地盤を構成する全ての土層ごとの設計データとして整理しなおされる。ここで云う土層は局所的に存在するものもすべて含む。

#### b. 設計計算区域の自動分割

設計条件の一組をなす数値が同じであっても、場所的に成層状態が異なるか、あるいはその逆の場合は、それぞれ別々の設計計算を要する故、ボーリング又はサウンディングの示す数種の地盤領域と設計条件の各組が代表する平面領域とが錯綜することが一般的であるが、このような場合の設計計算を行なう為の地層条件と設計条件のすべての組合せで対象敷地を自動分割し設計計算を行なっている。

#### c. 地中応力

地中応力を変化を及ぼす敷地内外の全ての建造物を計算点から放射状に引いた線分で分割された三角形の集りと考え、この三角形荷重による頂点直下の応力はブシネスクの式を応用して、数値積分し、各計算点に於て重ね合せの原理を利用して求めている。すなわち図-4 Aの場合、荷重ABCDの計算点への影響は  $\triangle PAB + \triangle PBC + \triangle PCD - \triangle PDA$  で表わされる。三角形荷重による頂点直下の応力は①式(図-4 B)に示す。

$$\sigma_z = -\frac{q}{2\pi} \left[ \theta - \int_0^\theta \left( 1 + \left( \frac{m \sin \alpha}{\sin(\omega + \alpha)} \right)^2 \right)^{-\frac{3}{2}} d\omega \right] \dots \dots \text{①}$$

ここで  $m = a/z$

図-2

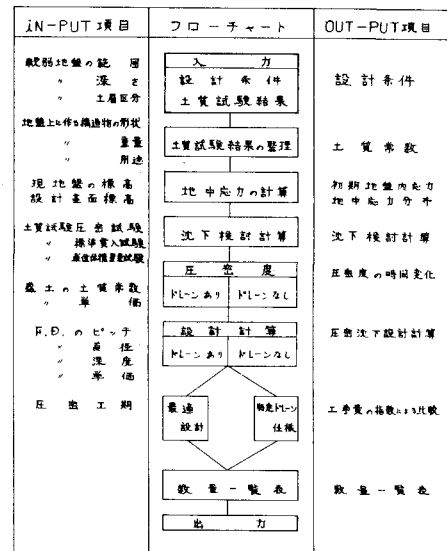
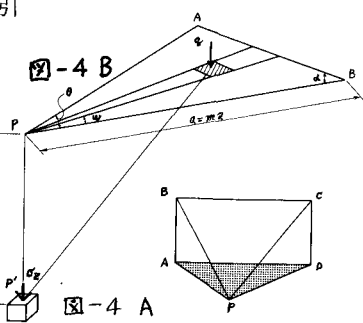


図-3

層別	土質名	土質記号	
レ	(G)		
メ	G-H G-E G-F G-V	<G>	G
シ	G-M G-E G-Q G-V	GF	
レ	(F)		
メ	ス-ア ス-ビ ス-シ ス-ジ ス-エ ス-オ ス-ル ス-ル	<F>	F
シ	ス-ア ス-ビ ス-シ ス-ジ ス-エ ス-オ ス-ル ス-ル	AF	
レ	HL	<HL>	
メ	CL CH	<CL>	
シ	BL BH	<BL>	B
レ	PL PH	<PL>	
メ	VII VII2	<VII>	
シ	PT PK	PT'	
全	W		



d. 収束計算による設計(図-7)

8 - 5

ドレーンによる地盤改良の設計に於て通常のように、設計条件を圧密度で規定することは多層地盤が多い現実に照らして疑義があり、当システムでは、地表面許容残留沈下量とした。又、各設計計算区域別に、複数の（ドレーンピッチ、改良深度）の組合せに対して、次のような収束計算を行ない、設計条件を満足する多様な土工事、ドレーン工事の全仕様にに対する詳細な設計計算過程を漏れなく出力するので、このまま設計書となり手を加える必要はない。

施工前地盤上にサーチャージ盛土高  $H$   
を仮定し圧密期間内の沈下量  $S_T$ , 撤去  
盛土  $H'$ , 設計地盤高と施工前地盤高と  
の差  $H_F$ , 残留沈下量  $S_R$  ( $= S_{F'} [$ 後  
述]  $- S_T$ )との間には,

$$H' = H - S \cdot T - H \cdot F \quad \dots \dots \textcircled{2}$$

(撤去時地盤高を設計地盤高とする場合)  
又は、

$$H' = H - S \cdot T - H \cdot F - S \cdot R \quad \dots \dots \quad (3)$$

(撤去時地盤高を設計地盤高より残留沈下量だけ高くする場合)

なる関係があり、撤去したサーチャージの荷重と応力分散を考えた全設計荷重のそれぞれによる沈下量は一般に等しくないから、サーチャージ撤去後に残された盛土高  $H - H'$  と敷地内外の新しい建造物による最終沈下量  $S F'$  を計算して、残留沈下量  $S R$  を

$$S \cdot R = S \cdot F' - S \cdot T \quad \dots\dots \textcircled{4}$$

によって求める。

②式による設計では  $H$  を仮定すれば  $S R$  が求まるので、この  $S R$  が許容残留沈下量を下回る条件から  $H$ ,  $H'$  が決定され、一種類の収束計算で済むが、③式による設計では、 $H$  を仮定した後、 $H'$  を仮定して④式から  $S R$  が求まり、 $H'$  と  $S R$  が③式を満足する迄  $H'$  をパラメーターとする収束計算を行いうのである。③④式を満す  $H'$  と  $S R$  が決まった後、 $S R$  が許容残留

## [2] 設計方針 - 1

① 灌水下部剪切法 圧密係数	② 浮力考慮 排水設置	③ 地盤強度 変化	④ TDSの影響	⑤ 固化
○	△	△	△	△
△	○	△	△	△
△	△	○	△	△

- ① 逆下計算手法 逆下計算手  $E = A/F$  直線 上式、 $E$ 、実行する場合 1,  
      $E$ 、法式で実行する場合 2,  
      $M$ 、法式で実行する場合 3 を記入する。

② 正 実 行 法 正実行法の詳細データに基づいて計算する場合 1, 正実行法第一段式に基づいて簡略計算する場合 2 を記入する。

③ 浮 力 考 虑 着底面での進行条件(浮力の作用を考慮しない場合 1, 考慮する場合 2)を記入する。

④ ドレイン配管 ドレイン配管の場合 1, 正三角形配管の場合 2 を記入する。

⑤ 竣工地盤高差 竣工地盤高差を F.S. 一一致? 七合場合 1, 将来地盤高差が F.S. となるよう土上げなしとする場合 2 を記入する。

⑥ 深 度 变 化 上層文部省平均法の時 1, 深度の範囲で多筋時 2 を記入する。

⑦ アーチ効果 アーチ効果、計算並成と自動的計算する場合 1, 自算並成と [2] で入力する場合 2 を記入する。

⑧ 固 化 固化として用いる場合 1, 固化必要としない場合 2 を記入する。  
     付録「地盤改良技術調査」  
     「不透水性材料」

四 - 6

94 イ2 スイシヨウ コウエン シハニ カイリヨ

PAGE - 5

[31] フルクモ 19セン										
[4] リンクNOTE : フルクモ P1(KG/CH2), リンクE E1, 9181 アクシス Y420 MV1(CH2/KG), リンクF F20 CV1(CH2/DAY)										
[1]	[2]	[3]	[4]	[5]	[6]	[7]	[8]	[9]	[10]	[11]
ML   P   0.05000   0.10000   0.20000   3.40000   0.90000   1.60000   3.20000   6.40000   12.80000   3.20000										
E   1.33200   1.26800   1.23400   1.19500   1.13450   1.10150   1.03950   0.97550   0.89450   0.93300										
HV   0.14400   0.13700   0.12840   0.12040   0.11240   0.10440   0.05180   0.04880   0.04580   0.04280										
CV   938.351   1068.333   711.94   878.261   816.01   619.491   714.061   610.851										
MH   P   0.65000   0.10000   0.20000   0.40000   0.80000   1.60000   3.20000   6.40000   12.80000   3.20000										
E   2.45450   2.40950   2.37600   2.31450   2.19500   1.92600   1.66400   1.44600   1.23900   1.28400										
HV   116.131   116.099   116.099   116.099   0.133   0.133   0.0680   0.0680   0.0680   0.0680										
CV   1167.941   1099.001   812.151   541.001   266.521   266.521   266.521   266.521   266.531   166.091										

图 7

88-62-340830-2013-100000-0017

PAGE - 37

<2> セツケイ ケイサン ケンカ ノ マト

( 1 ) ケイソン テン 1 ( カーリング テン 1 ) G.L. T.P. 5.00(M), F.L. T.P. 7.00(M)

#### 1. アツミツ コウキ タイ ノ チンカ

モリト\*タカヒ 2.23 (M) (サンドマット 0.50(M)) モリト\* カニコウ DP = (-2.23 - 0.50) \* 1.60 + 0.50 \* 1.80  
= 3.69 (T/M2)

7. スクリュウ イチラン ヒヨク												
クイック	メンヒキ	トライレーン	トライシルバーフラグ	トライシルバーフラグ	トライレーン	トライシルバーフラグ						
(M2)	(M)	(M)	(M)	(M)	(M)	(M)	(M)	(M)	(M)	(M)	(M)	(M)
1	17501	1.401	8971	5.001	0.50	4.501	4.9341	70001	2.221	30001	0.001	9
2	94721	1.401	48331	5.001	0.50	5.501	265821	47361	2.221	157421	0.001	1
3	52211	1.401	26641	5.001	0.50	5.501	14661	25611	2.221	89521	0.001	4
4	19371	1.401	98841	5.001	0.50	5.501	543621	96871	2.221	332461	0.001	10
5	98171	1.401	50091	5.001	0.50	5.501	275501	49091	2.221	168571	0.001	9
6	456621						1280801	228231	778091			27

沈下量以下でなければ、初めからHを仮定しなおして同様の計算を繰り返す。

#### e. 図化

次のような図、

NO.	メイシヨウ	KOTAN B_NO	メウリヨウ タイ	タンク	キンカウ	ヒコウ
41	フランリ ハラク トマーン (TG-32) カニコウ ハンショウ (ハニコウ ハンショウ [スジン])	GBH01	1.00 オフ	1096486.99	1,096,486.99	1001 ヒコウ
41	フランリ ハラク トマーン (TG-32) クミタケ カイガイ (スジン カイガイ [スジン])	GBH03	1.00 ハイ	1645314.71	1,645,314.71	1002 ヒコウ
31	フランリ ハラク トマーン (TG-32) 15<L<20M (フランリ ハラク トマーン [スイイ30])	17.00 GBH07	236300.00 M	197.96	46,778.415.60	1003 ヒコウ
41	フランリ ハラク トマーン (TG-32) 15<L<20M (フランリ ハラク トマーン [スイイ30])	GBH15	236300.00 M	170.74	40,346,649.66	1004 ヒコウ

グラフをプロット

$$\text{シヨウカイ} = \frac{89,866,666.95}{236300.000} = 380.30 \text{ IN / M}$$

$$89,866,666.95$$

一によって書くことが出来るようにした。ボーリング検層結果を示すボーリング柱状図(図-11),これと平面的位置関係からの地層想定縦断図,また沈下量と平面的位置関係の沈下量縦断図,土質試験結果の整理の中の土質定数の深度方向変化グラフ,圧密試験による圧縮曲線,等である。

#### 4) 積算プログラム

3)dの収束計算で得られた結果を,各設計計算区域ごとにドレン打設本数,ドレン深度,サンドマットの砂の量,盛土量,盛土撤去土量などを計算し,数量一覧表(図-8)に出力した。これを積算プログラムの入力として使用している。積算プログラムの出力及びフローチャートを図-9,10に示す。

#### 5) あとがき

現実の地盤が異方性,不均質で塑性的な側方流動を示す材料であるばかりでなく,荷重や境界形状が位置的にも時間的にも単純でないこと,サンドマットやドレン材及び下部排水層も脱水抵抗を持つことなど,圧密理論の仮定を許容し難い場合が多いとともに,今日知られている解析解による設計だけでは,基本的に精度向上に限界があると思われる。従って現状の設計方法を踏襲した当自動設計システムに運土計画や,動態観測データを入力とする修正設計システムの機能を加えることとは別に,新しい多次元圧密理論や塑性変形理論を実際の工事に取り入れる為には,有限要素法,差分法と言った数値計算による設計方法を検討することも,電算機の効果を生かす一つの方法と考えられる。

#### 参考文献

- 三笠他「バーチカルドレン工法の問題点をさぐる」土と基礎,20号8巻,1972
- Bjerrum,L 「Embankments on soft Grandj proc. Specialty Conf.A.S.C.E,1972
- 土質工学会編「土質調査法」第1章
- 池田俊雄「チュウ積層と洪積層」土と基礎技術手帳,20号8巻,1972
- 三沢融「把音式地盤探査装置(phs)によるサンドドレンの連続性確認」鉄道技研速報No.72-204 281,1972
- Barren,R.A.「Consolidation of fine grained soils by drain wells」Trans. Am. Soc. Civ. Engrs.,113-718,1948
- 吉国他「Consolidation of soils by Vertical Drainwells with finite permeability」Soils and Foundations,Vol 14, No.2, 1974
- Rowe,P.W.「The influence of geological features of clay deposits on the drain and performance of sand drains」proc. I.E.C.,1968

図-10

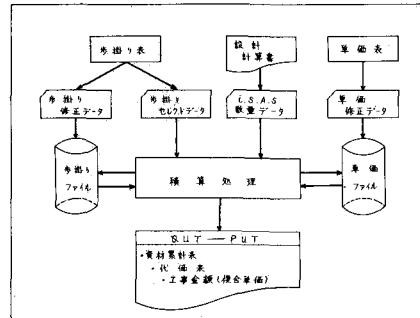


図-11

